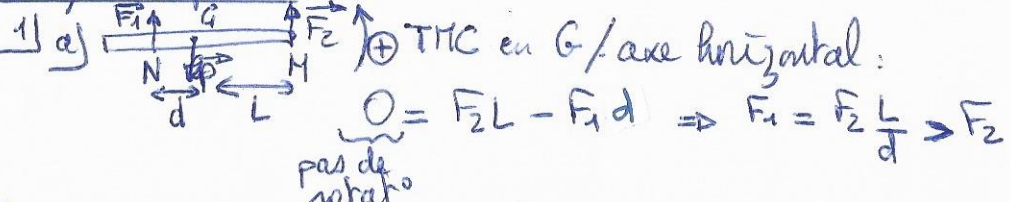


Solide en rotation

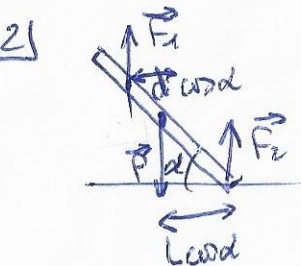
Portage d'1 poutre



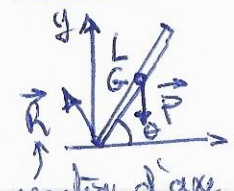
b) PFD pour la poutre : $O = F_1 + F_2 - mg \Rightarrow mg = F_2(1 + \frac{L}{d})$
en pos sur la veichile

$$\Rightarrow F_2 = \frac{mgd}{L+d}; F_1 = \frac{mgl}{L+d}$$

2) même relations, en remplaçant les bras de levier. Les cos se simplifient
⇒ mêmes résultats



chute d'1 aubre



$$1) E_p = mg z_G = mg \frac{L}{2} \sin\theta$$

$$E_C = \frac{1}{2} I \dot{\theta}^2$$

2) R ne W pas, liaison pivot parfaite,
pas de couple résistant ⇒ seule $\vec{F} \cdot \vec{N}$.
qui est conservative ⇒ $E_m = \text{const}$

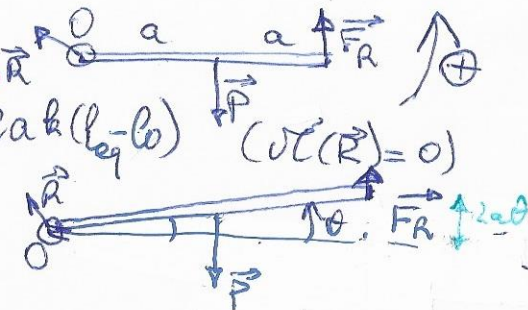
$$\Rightarrow mg \frac{L}{2} \sin\theta \pm \frac{1}{2} I \dot{\theta}^2 = mg \frac{L}{2} \sin\theta_0 \quad \text{car } \dot{\theta} \downarrow \text{ (bm sens...)} \\ \text{à t} \qquad \text{à } t=0$$

$$\Leftrightarrow \ddot{\theta}^2 = \frac{mgL}{J} \sin\theta_0 - \sin\theta \Rightarrow \ddot{\theta} = \frac{d\theta}{dt} = \sqrt{\frac{3g}{L}} \sqrt{\sin\theta_0 - \sin\theta}$$

3) On a donc $T = \int dt = \int_{\theta=0}^{\theta=0} \frac{d\theta}{\ddot{\theta}} = \int_0^{\theta_0} \frac{d\theta}{\sqrt{\frac{3g}{L} \sqrt{\sin\theta_0 - \sin\theta}}} = T = 4,315 \sqrt{\frac{10}{30}} = 2,5 \Delta$

Barre fixée aux extrémités

1) $\text{THC}/Oz : 0 = -mga + 2ak(l - l_0) \quad (\text{TC}(R) = 0)$
 $\Rightarrow l_0 = l + \frac{mg}{2k}$



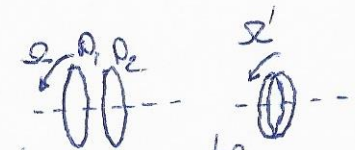
2) le TDC donne :

$$J \ddot{\theta} = -mga \cos\theta + 2ak(l - l_0), \text{ or } l = l_0 - 2a\theta$$

$$\approx -mga + 2ak(l_0 - l_0 - 2a\theta) = -4a^2 k \theta \quad \text{O d'après 1)}$$

Suit $\ddot{\theta} + \frac{4a^2 k}{4/3 ma^2} \theta = 0$, oscill harmonique, $\omega^2 = \frac{3k}{m}$,

$$T = 2\pi \sqrt{\frac{m}{3k}}$$



Entrainement par frottements.

1) Le système $\{D_1 + D_2\}$ ne subit que $t=0$ que

- Bon pris, de moment nul / Oz } Forces extérieures
- réactions d'axe, de mt nul / Oz } pas de forces intérieures dans PFD / THC

⇒ Le mt kinétique se conserve :

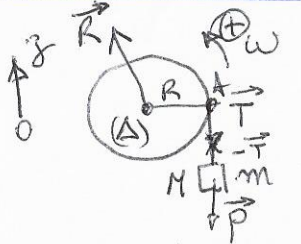
$$J_1 \Sigma \ddot{\theta} = (J_1 + J_2) \ddot{\theta} \Rightarrow \Sigma \ddot{\theta} = \frac{J_1}{J_1 + J_2} \Sigma \ddot{\theta} = \frac{\Sigma}{2}$$

2) Seule E_C varie

$$\left. \begin{aligned} \Delta E_{C1} &= \frac{1}{2} I \left(\frac{\Sigma}{2}^2 - \Sigma^2 \right) = -\frac{3J\Sigma^2}{8} \\ \Delta E_{C2} &= \frac{1}{2} J \left(\frac{\Sigma}{2} \right)^2 = \frac{J\Sigma^2}{8} \end{aligned} \right\} \Delta E_m = -\frac{J\Sigma^2}{4}$$

(l'énergie à cause des forces intérieures, des frottements qui dépendent de l'énergie)

Poulie entraînée par 1 masse



1) Comme la masse accélère, $\vec{P} - \vec{T} \neq 0$

On a $\vec{\tau}(R) = R\omega \vec{u}_3$ (fil inextensible) $\Rightarrow \vec{\alpha}(R) = R\dot{\omega} \vec{u}_3$ (algorithme)

Dans le PFD appliquée à R , on

$$\text{obtient } \vec{P} - \vec{T} = mR\dot{\omega} \vec{u}_3 \Rightarrow \boxed{\vec{T} = -m(R\dot{\omega} + g)\vec{u}_3}$$

2) TMC appliqué à la poulie en (A):

$$\frac{dL_A}{dt} = \mathcal{J}_A(\vec{\tau}) + \mathcal{J}_A(\vec{R}) + \mathcal{J}_A(\text{frottement})$$

$$\Rightarrow \mathcal{J}\ddot{\omega} = -m(R\dot{\omega} + g)R + 0 - \alpha w$$

mas de levier

$$\Leftrightarrow (\mathcal{J} + mR^2)\ddot{\omega} + \alpha w = -mgR$$

Équation d'ordre 1, de solution :

$$\omega(t) = \underbrace{A e^{-t/\tau}}_{\text{sol gale}} \underbrace{\frac{mgR}{\alpha}}_{\text{sol part}} \quad \text{avec } \tau = \frac{\mathcal{J} + mR^2}{\alpha}$$

$$\text{à } t=0, \omega=0 \Rightarrow A = \frac{mgR}{\alpha} \Rightarrow \boxed{\omega(t) = -\frac{mgR}{\alpha} (1 - e^{-t/\tau})}$$

$$\text{En régime pt, } \omega_p = -\frac{mgR}{\alpha}$$

3) En régime pt, la masse descend à $v = v_0 t \Rightarrow \vec{T} = \vec{P}$

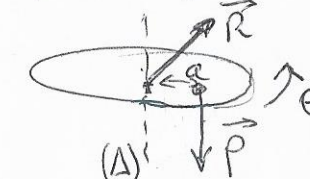
$$\Rightarrow P(T) = \vec{T} \cdot \vec{v}_A = -mgR\omega_p$$

La puissance des frottements vaut (couple) :

$$P(P) = \vec{r} \cdot \vec{w}_p = -\alpha w_p^2$$

$$\text{Le TPC donne } \frac{dE}{dt} = 0 = -mgR\omega_p - \alpha w_p^2 \Rightarrow w_p = -\frac{mgR}{\alpha}$$

Équilibrage d'une roue



1) le disque subit la réaction de l'axe (parce que $\Delta \rightarrow \vec{R} \neq 0$ nul)
- son poids ($\parallel \vec{a}_A \Rightarrow \vec{R} \neq 0$ nul)
 \Rightarrow le TMC donne $\mathcal{J}\ddot{\omega} = 0 \Rightarrow \boxed{\omega = v_0 t = \omega_0}$

2) G tourne à $\omega = \omega_0$ autour de Oz et a pour coordonnées

$$\begin{cases} x_G = a \cos(\omega_0 t) \\ y_G = a \sin(\omega_0 t) \end{cases}$$

3) PFD appliquée au disque :

$$m\vec{a} = \vec{P} + \vec{R}$$

$$\Rightarrow \vec{R} = mg\vec{u}_3 - ma\omega_0^2 [\cos\omega_0 t \vec{u}_x + \sin\omega_0 t \vec{u}_y]$$

à ω_0 grand, R grand : risque de cassure de l'axe, vibrations ...

Enseigne de Saloon

1) Entre $t=0^-$ et $t=0^+$, le syst^e { enseigne + balle } est soumis à $-\vec{P}_1 - \vec{P}_2 + \vec{R}$ (mt nul / Δ)

- couple nul / Δ (liaison pivot parfaite)

Donc T_A se conserve POUR LE SYSTÈME GLOBAL:

$$\underbrace{mv_0 h/2}_{t=0^+} = \left(J + m \frac{h^2}{2} \right) \omega_0 \Rightarrow \omega_0 = \frac{mv_0 h/2}{J + m \frac{h^2}{4}}$$

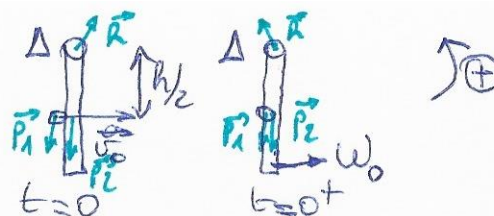
2) APRÈS le choc, le syst est conservatif (Puissance nulle à la liaison pivot): En prenant $E_{pp}=0$ pour $\theta=0$ (enseigne verticale):

$$\underbrace{\frac{1}{2} \left(J + \frac{m h^2}{4} \right) \omega_0^2 + 0}_{E_c(t=0^-)} = \underbrace{(M+m) g \frac{h}{2} (1 - \cos \theta_{\max}) + 0}_{E_p(\theta_{\max})}$$

$$\Rightarrow \theta_{\max} = \arccos \left(1 - \frac{(J + m \frac{h^2}{4}) \omega_0^2}{(M+m) g h} \right)$$

3) ΔE_c pendant le choc:

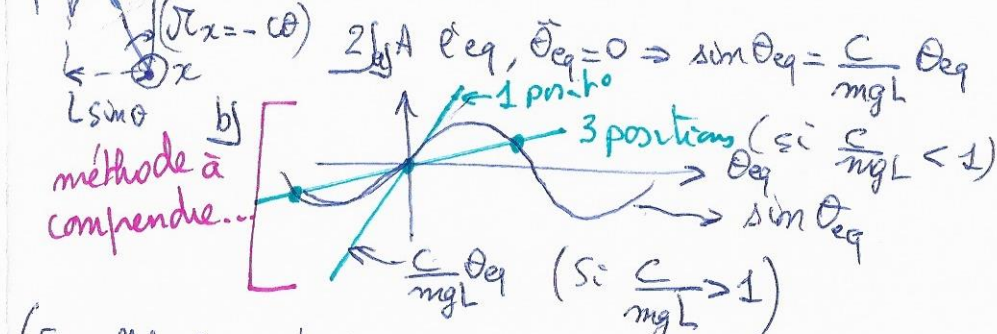
$$\Delta E_c = \frac{1}{2} \left(J + \frac{m h^2}{4} \right) \omega_0^2 - \frac{1}{2} m v_0^2 = W_f \text{ intérieures} < 0 \text{ (frottement)}$$



Gravimétrie

1) TRC à { tige + manif }:

$$\frac{d\theta}{dt} = mL^2 \ddot{\theta} = mgL \sin \theta - C \theta \quad (1)$$



(En effet, la pente de $\sin x$ est 1 en $x=0$...)

3) a) $E_p = \frac{1}{2} \bar{g} L \cos \theta + \frac{1}{2} C \theta^2$. (pas d' \bar{E}_p pour liaison pivot qui ne W pas)

b) $\frac{d\bar{E}_p}{d\theta} = -\bar{g} L \sin \theta + C\theta$ (on retrouve θ_{eq} ...)

$$\frac{d^2\bar{E}_p}{d\theta^2}(\theta=0) = -\bar{g} L + C \Rightarrow \frac{d^2\bar{E}_p}{d\theta^2} > 0 \Leftrightarrow C > \bar{g} L.$$

4) Si $C < \bar{g} L$, le poids écarte la position d'équilibre. Mais le terme en θ^2 l'emporte à un moment donné, on aura des positions d'éq stables:



5) Petits angles \Rightarrow (1) devient:

$$\ddot{\theta} + \left(\frac{C}{mL^2} - \frac{g}{L} \right) \theta = 0 \quad \text{donc } T = 2\pi \left(\frac{1}{L} \left(\frac{C}{mL} - g \right) \right)^{-1/2}$$

$$\Leftrightarrow T = \frac{2\pi\sqrt{L}}{\sqrt{g_0 - g}}$$

\Rightarrow Mesurer T permet de mesurer $g_0 - g \Rightarrow$ accès aux petites variations de g autour de g_0 .